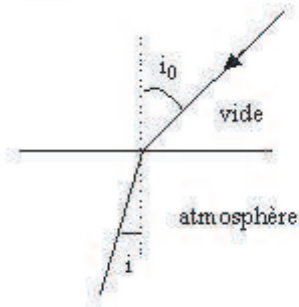


## Indice de réfraction de l'air

### 1<sup>ère</sup> partie : Réfraction atmosphérique

1.1

1.1.1 :



1.1.2 loi de Descartes :  $1 \sin i_0 = n \sin i$ ; on a :  $n \approx 1 \implies i_0 \approx i$

1.1.3 développement limité au voisinage de  $i_0$  donne :

$$\sin i \approx \sin i_0 + \cos i_0 (i - i_0) \implies \Delta \approx \left(1 - \frac{1}{n}\right) \tan i_0$$

1.1.4

$i_0$ (degré)	$\Delta$ (min d'arc = $\frac{1}{60}$ )
0	0
60	0,03
80	0,10

dans les 3 cas la déviation  $\Delta$  est trop faible

1.1.5 pour  $i_0 = 90^\circ$ ;  $\Delta = i_0 - \arcsin \frac{1}{n} = 1,4^\circ$  grande valeur! phénomène de réfraction limite

1.2 la dispersion des couleurs est due à la dépendance de  $n$  avec  $\lambda$ , la déviation étant importante pour  $i_0 \approx 90^\circ$

### 2<sup>ème</sup> partie : Interférences à deux ondes

2.1 le modèle réel contient en plus la lame compensatrice qui corrige la différence de marche due à l'épaisseur de la lame séparatrice qui, quant-à-elle, sert à diviser un rayon incident

2.2

2.2.1  $n_{eau} = 1,33$  et  $n_{verre} = 1,5$

2.2.2  $\text{rot}(\text{rot} \vec{E}) \implies \Delta \vec{E} - \frac{1}{c^2} \frac{\partial^2 \vec{E}}{\partial t^2} = \vec{0}$  soit  $c = \frac{c_0}{n}$

2.3

2.3.1  $\Delta \psi - \frac{1}{c^2} \frac{\partial^2 \psi}{\partial t^2} = 0$

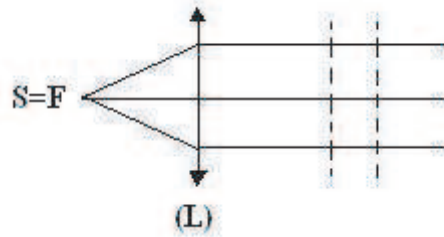
2.3.2 une onde plane est une onde qui ne dépend que d'une variable cartésienne et du temps

**2.3.3** solution générale s'écrit :  $\psi(z, t) = \psi^+(z - ct) + \psi^-(z + ct)$

-  $\psi^+$  est une onde plane progressive selon Oz

-  $\psi^-$  est une onde plane régressive selon Oz

**2.3.4** source ponctuelle au foyer objet d'une lentille mince convergente



**2.3.5** l'équation de propagation s'écrit :  $\Delta\psi - \frac{1}{c^2} \frac{\partial^2 \psi}{\partial t^2} = 0 \iff \frac{1}{r} \frac{\partial^2 r\psi}{\partial r^2} - \frac{1}{c^2} \frac{\partial^2 \psi}{\partial t^2} = 0$

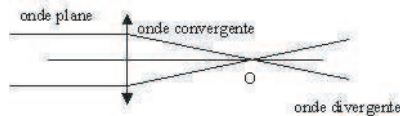
$$\iff \frac{\partial^2 \phi}{\partial r^2} - \frac{1}{c^2} \frac{\partial^2 \phi}{\partial t^2} = 0$$

**2.3.7** solution générale s'écrit :  $\phi(r, t) = r\psi(r, t) = \phi^+(r - ct) + \phi^-(r + ct)$  soit

$$\psi(r, t) = \frac{1}{r} f_1\left(t - \frac{r}{c}\right) + \frac{1}{r} f_2\left(t + \frac{r}{c}\right)$$

**2.3.6**  $f_1$  onde divergente et  $f_2$  onde convergente, chaque terme est une onde sphérique

**2.3.8** :



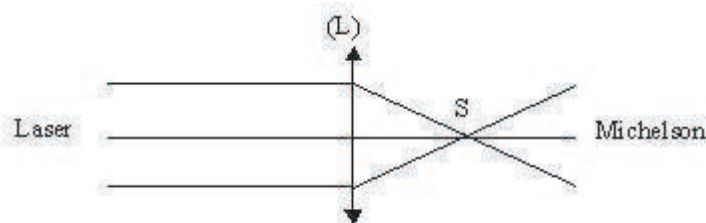
### 3<sup>ème</sup> partie :

#### Mesure de l'indice de réfraction de l'air

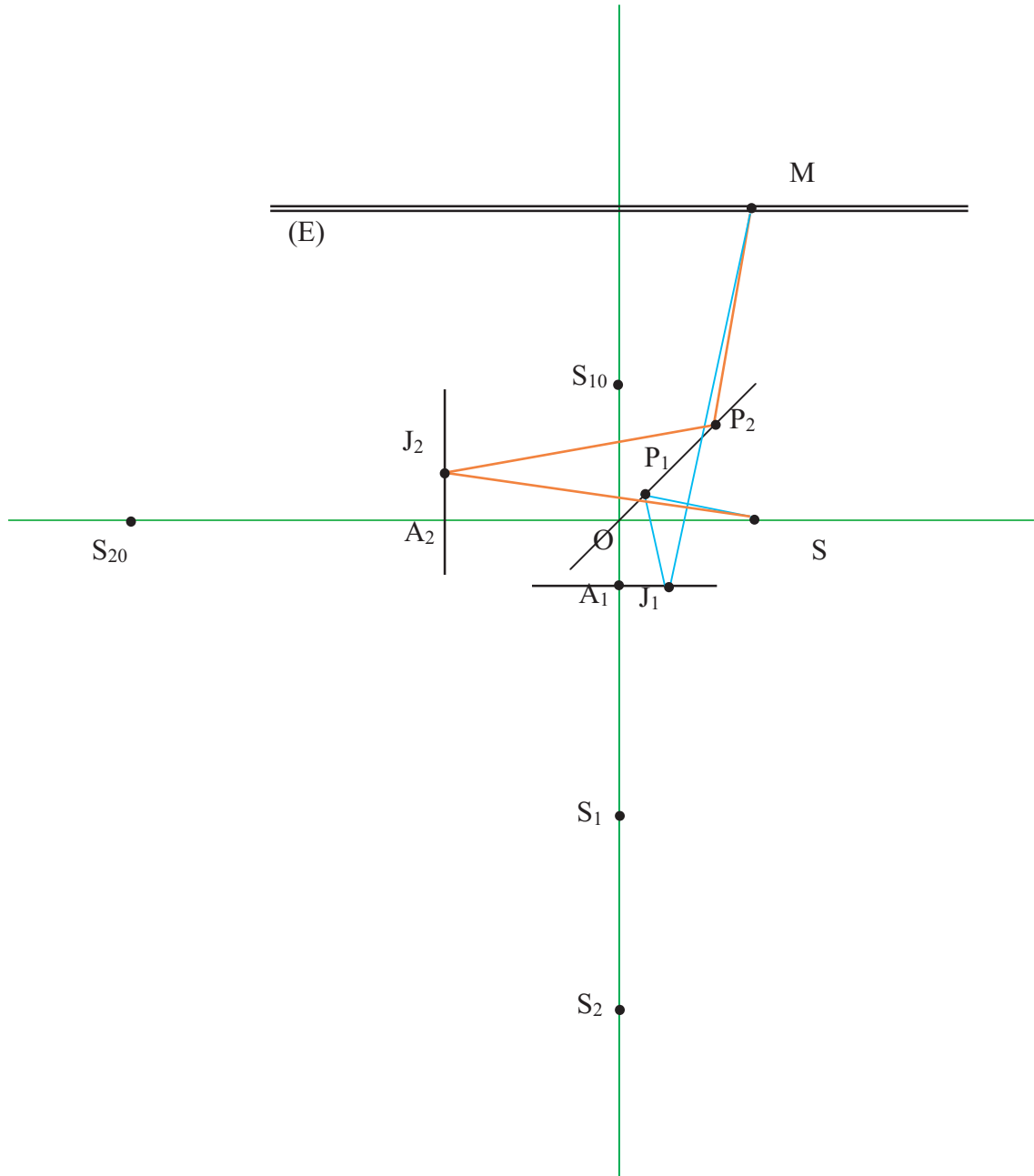
##### 3.1 Étude de la figure d'interférence

**3.1.1**  $\lambda_0 = 0,6328\mu m$  donc Laser rouge

**3.1.2** le faisceau Laser est un faisceau parallèle donc S est au foyer image de L



**3.1.3** :



**3.1.4**

$$\begin{aligned}
 a = S_1 S_2 &= OS_2 - OS_1 = OS_{20} - (S_{10} S_1 - OS_{10}) = (SS_{20} - SO) - (2A_1 S_{10} - l_0) \\
 &= (2SA_2 - l_0) - (2A_1 S_{10} - l_0) = 2(l_0 + l_2) - 2(l_0 + l_1) = 2(l_2 - l_1)
 \end{aligned}$$

**3.1.5** on a :

$$(SM)_2 = (SJ_2) + (J_2 P_2) + (P_2 M) = [(S_{20} J_2) + (J_2 P_2)] + (P_2 M) = (S_2 P_2) + (P_2 M) = (S_2 M)$$

de même :

$$(SM)_1 = (SP_1) + (P_1 J_1) + (J_1 M) = [(S_{10} P_1) + (P_1 J_1)] + (J_1 M) = (S_1 J_1) + (J_1 M) = (S_1 M)$$

**3.1.6** la séparatrice est semi-réfléchissante agissant deux fois pour chaque rayon donc :

$$I(M) = 2 \frac{I_0}{4} \left( 1 + \cos \frac{2\pi\delta}{\lambda_0} \right)$$

les surfaces d'égalité d'intensité sont données par  $I = cte \iff \delta = n.(S_2M - S_1M) = cte \iff$   
hyperboloïdes d'axe de révolution  $S_1S_2$

**3.1.7** l'écran est perpendiculaire à l'axe  $S_1S_2$  donc les franges seront circulaires (anneaux)

**3.1.8** on a :  $r_2 - r_1 = \sqrt{(D + \frac{a}{2})^2 + y^2 + z^2} - \sqrt{(D - \frac{a}{2})^2 + y^2 + z^2}$

**3.1.9** on a :  $p = \frac{\delta}{\lambda_0} = \frac{n}{\lambda_0} a(1 - \frac{CM^2}{2D^2})$  décroissant en fonction de CM ; donc maximal pour  $M \equiv C$  soit  
 $p = p_0(1 - \frac{CM^2}{2D^2})$  avec  $p_0 = \frac{na}{\lambda_0}$

**3.1.10** une frange est donnée par  $I = cte \iff \delta = cte \iff CM := R = cte \iff$  cercle de centre  $C$   
et de rayon  $R$  on a :  $p = p_0(1 - \frac{R_p^2}{2D^2}) \iff R_p = D\sqrt{2\frac{p_0-p}{p_0}} = D\sqrt{2\lambda_0\frac{p_0-p}{na}}$

**3.1.11** - centre brillant  $p_0$  est entier càd  $\epsilon = 0$   
- centre sombre  $p_0$  est demi-entier càd  $\epsilon = \frac{1}{2}$

**3.1.12**  $p$  est entier pour un anneau clair

on a :  $R_p = D\sqrt{2\lambda_0\frac{p_0-p}{na}} \implies R_{c,m} = D\sqrt{2\lambda_0\frac{k_0+\epsilon-p}{na}} \implies m = k_0 - p$  entier

**3.1.13** pour que le centre C soit détecté, si on tourne la barrette dans sans plan l'intensité enregistrée  
doit être inchangée ou bien en supprimant l'oculaire la tache du laser doit tomber sur la barrette  
CCD

**3.1.14** pour repérer le centre C (symétrie).

**3.1.15** l'échelle de la figure 4-b :  $2048pixel \longleftrightarrow 5,9cm$

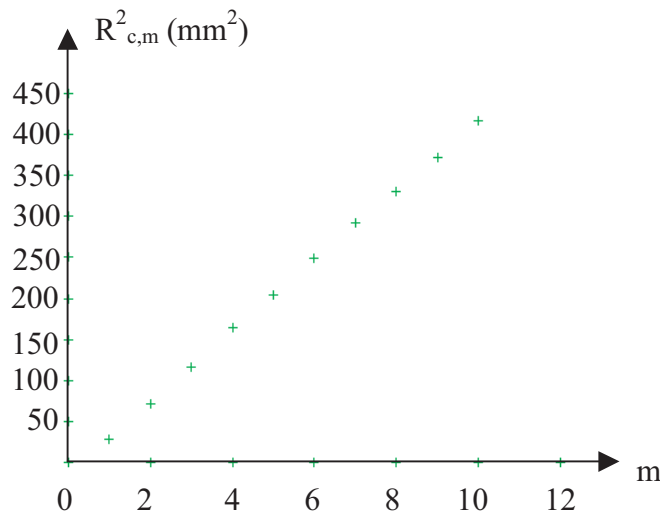
<i>distance(mm)</i>	1.5	3.75	6	8.3	11	14	17.2	21.2	26	32.4	43.5	54.5
$n^\circ_{pixel} = \frac{2048 \cdot d}{59}$	52	130	208	288	382	486	597	736	902	1125	1510	1892

la position du centre C est donnée par  $n^\circ_{pixel} = 1510$

$\implies R_{c,m} = (n^\circ - 1510).14\mu m$

rang m de l'anneau clair	1 <sup>er</sup>	2 <sup>ème</sup>	3 <sup>ème</sup>	4 <sup>ème</sup>	5 <sup>ème</sup>	6 <sup>ème</sup>	7 <sup>ème</sup>	8 <sup>ème</sup>	9 <sup>ème</sup>	10 <sup>ème</sup>
rayon $R_{c,m}(mm)$	5.4	8.5	10.8	12.8	14.3	15.8	17.1	18.2	19.3	20.4

**3.1.16** on représente la loi affine  $R_{c,m}^2 = \alpha m + \beta = \frac{2D^2\lambda_0}{na}(m + \epsilon)$



$$\text{graphiquement : } \begin{cases} \alpha = \frac{2D^2\lambda_0}{na} = 43 \cdot 10^{-6} m^2 \\ \beta = \frac{2D^2\lambda_0}{na} \epsilon = -13.8 \cdot 10^{-6} m^2 \\ \epsilon = \frac{\beta}{\alpha} = -0.3 \end{cases}$$

oui , en fait le centre n'est ni sombre ni brillant

3.1.17 le rayon du  $m^{\text{ème}}$  anneau clair s'écrit  $R_p = D\sqrt{2(1 - \frac{p\lambda_0}{na})}$  si  $a \searrow \implies R_p \searrow 0$ , l'anneau disparaît au centre

### 3.2 Indice de réfraction de l'air

3.2.1 on a :  $\delta_0 = \delta + 2\ell(n' - n)$  la cuve intervient deux fois dans l'aller-retour du rayon (2).

or d'après 3.1.8 en C  $\delta = a$  soit  $\delta_0 = a + 2\ell(n' - n) = a'$  soit  $a' = 2(\ell_2 - \ell_1) + 2\ell(n' - n)$

3.2.2 on change a par a', soit :  $I(M) = 2\frac{I_0}{4}(1 + \cos \frac{2\pi\delta'}{\lambda_0})$  avec  $\delta' = na'(1 - \frac{y^2+z^2}{2D^2})$

3.2.3  $p = \frac{\delta'}{\lambda_0} = \frac{na'}{\lambda_0}(1 - \frac{y^2+z^2}{2D^2})$  si  $P' \longrightarrow P \implies n' \longrightarrow n \implies a' \longrightarrow a$  l'ordre d'interférence au centre change  $\implies$  il y aura défilement des anneaux

3.2.4 on a :  $\Delta p_0 = p_0 - p'_0 = [\frac{a}{\lambda_0}] - [\frac{a+2\ell(n'-n)}{\lambda_0}] = \frac{2\ell(n-n')}{\lambda_0}$  c'est le nombre d'anneaux qui défilent au centre

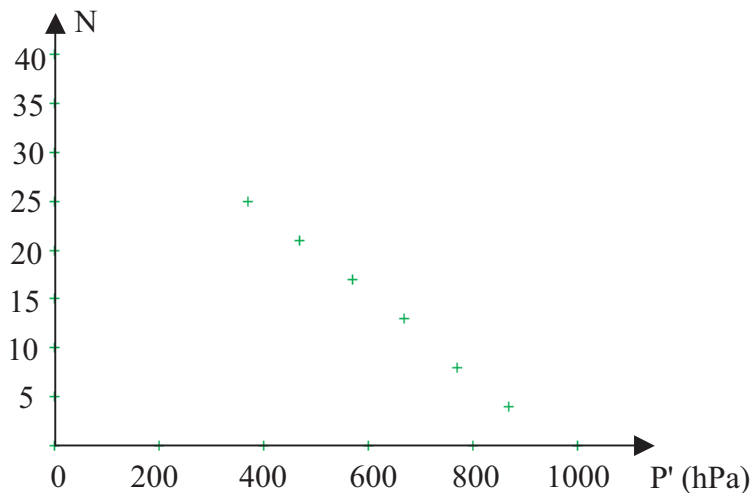
3.2.5 on a  $\Delta p_0 = N_0 = \frac{2\ell(n-1)}{\lambda_0}$  car  $n'(P=0) = 1$  soit  $n = 1 + \frac{N_0\lambda_0}{2\ell}$

### 3.2.6 conduite d'une expérience de mesure d'indice

3.2.6.1 :

$-\Delta P(\text{hPa})$	100	200	300	400	500	600
N	4	8	13	17	21	25

3.2.6.2 :



3.2.6.3 l'intersection avec l'axe des N donne  $N_0 = 39$

3.2.6.4 d'après 3.2.5 :  $n - 1 = \frac{N_0\lambda_0}{2\ell} = 2.4 \cdot 10^{-4}$

### 4<sup>ème</sup> partie : Modèle de variation d'indice

#### 4.1

4.1.1 L'équation de Maxwell-Gauss s'écrit :  $\vec{\nabla} \cdot \vec{E} = 0 \iff i\vec{k} \cdot \vec{E} = 0 \iff$  le champ électrique de l'onde est perpendiculaire à la direction de propagation

4.1.2 L'équation de Maxwell-Faraday s'écrit :  $\vec{\nabla} \times \vec{E} = -\frac{\partial \vec{B}}{\partial t} \iff i\vec{k} \times \vec{E} = -(-i\omega \vec{B}) \iff \vec{B} = \frac{\vec{k} \times \vec{E}}{\omega}$   
, on a aussi :  $\vec{k} \cdot \vec{B} = 0$  , le champ magnétique de l'onde est perpendiculaire à la direction de propagation

## 4.2

4.2.1  $\vec{F} = q\vec{E} + q\vec{v} \times \vec{B} \implies \frac{q|\vec{E}|}{qv|\vec{B}|} = \frac{E}{v\frac{E}{c}} = \frac{c}{v} \gg 1$  dans le cadre non-relativiste

4.2.2 PFD appliqué à l'électron dans le réf Galiléen

$$m_e \ddot{\vec{r}} = -\frac{m_e}{\tau} \dot{\vec{r}} - m_e \omega_0^2 \vec{r} - e\vec{E} - \underbrace{e\vec{v} \times \vec{B}}$$

4.2.3 en régime harmonique le PFD s'écrit :  $(\omega_0^2 - \omega^2 + i\frac{\omega}{\tau})\vec{r} = -\frac{e}{m_e} \vec{E}_0 e^{i(\vec{k} \cdot \vec{r} - \omega t)} \approx -\frac{e}{m_e} \vec{E}_0 e^{i(-\omega t)}$

$$\text{soit : } \vec{r} = \frac{-\frac{e}{m_e} \vec{E}_0 e^{i(-\omega t)}}{(\omega_0^2 - \omega^2 + i\frac{\omega}{\tau})}$$

4.2.4 on a :  $\vec{p} = -e\vec{r} = \frac{\frac{e^2}{m_e}}{(\omega_0^2 - \omega^2 + i\frac{\omega}{\tau})} \vec{E}_0 e^{i(-\omega t)} \implies \vec{P} = \frac{\frac{Ne^2}{m_e}}{(\omega_0^2 - \omega^2 + i\frac{\omega}{\tau})} \vec{E}$

4.2.5 soit :  $\vec{P} = \frac{\frac{Ne^2}{m_e}}{(\omega_0^2 - \omega^2 + i\frac{\omega}{\tau})} \vec{E} = \varepsilon_0 (n^2 - 1) \vec{E} \implies n^2 = 1 + \frac{\frac{Ne^2}{m_e \varepsilon_0}}{(\omega_0^2 - \omega^2 + i\frac{\omega}{\tau})}$

4.3  $\omega \ll \omega_0$  et on néglige le terme d'amortissement  $-\frac{m_e}{\tau} \dot{\vec{r}} \implies n^2 \approx 1 + \frac{\frac{Ne^2}{m_e \varepsilon_0}}{\omega_0^2}$  , en faisant un  $DL_1$  :

$$n = \sqrt{1 + \frac{Ne^2}{m_e \varepsilon_0 \omega_0^2}} \approx 1 + \frac{Ne^2}{2m_e \varepsilon_0 \omega_0^2}$$

4.4 G.P :  $PV = nRT = n_0 K_B T$  , le nombre de molécule par unité de volume s'écrit  $N_0 = \frac{n_0}{V} = \frac{P}{K_B T}$   
, chaque molécule contient 2 électrons optiques :

$$n = 1 + \frac{2N_0 e^2}{2m_e \varepsilon_0 \omega_0^2} = 1 + \frac{\frac{P}{K_B T} e^2}{m_e \varepsilon_0 \omega_0^2} \implies \boxed{\alpha = \frac{e^2}{m_e K_B \varepsilon_0 \omega_0^2}}$$

fin du corrigé